

## 重荷重用格子床版の実験的研究(第4報)

大阪大学工学部 正員 前田幸雄  
大阪大学工学部 学生員。松井繁之

### 1 まえがき

R.C床版の設計に關し、配力筋に対する道路局長通達および床版厚に関する暫定基準案が發表され、これに従えば死荷重の増大は著しく、軽量化が要求される長大橋に対して非常に経済性が悪くなる。一方、格子床版は同じ条件のもとではR.C床版に比して大中に床版厚を減少でき、橋梁死荷重軽減に寄与できるものと思われる。このコンクリート充てん型格子床版は、型枠が不要等多くの利点があり、東名高速道路用京橋の東海道本線跨線部分などに試験施工されてゐる。我々は、これら格子床版に関する一連の実験を重ねたが、今回も、上記の通達、暫定基準案に準じて設計した实物大模型のR.C床版および格子床版の静的載荷試験結果の一節を述べ、両者の曲げ特性、耐荷力等を比較検討する。

### 2 供試体と試験方法

鉄道橋示方書第19条に従って設計し、配力筋は70%としたR.C床版は3種(計6体)で、コンクリート、鉄筋の種類たり表-1に示すごとく変化させた。主鉄筋はφ13mm<sup>2</sup>、10cm間隔の複数筋断面であり、版厚は16cmの一方側版である。格子床版は図-1に示す主部材を20cm間隔に並列した。詳細は図-1を参照。載荷方法は文献<sup>1,2,3)</sup>と同様であるが、今回の載荷板は舗装厚を3cmと仮定し床版の表面まで荷重が分布するものと想定し、300×600mmとした。写真-1参考。

### 3 試験結果と考察

(a)格子床版とR.C床版の比較。最終耐荷力および破壊型式は表-1および図-2に示す通りである。耐荷力は、格子床版が焼け、R.C床版に比して40%

供試体	コンクリート	鋼材
RC	普通 $\phi 8 = 264$	φ13 (SR 24)
	" $\phi 16 = 244$	D13 (SD 30)
	軽量 264	φ13 (SR 24)
	普通 295	" (SR 24)
	軽量 301	D13 (SD 30)
	" "	φ13 (SR 24)
SG	軽量 342	D19 (SD 30)
	" "	D16 (SD 30)
	SG-1-H 291	D19 (SD 30)
	SG-2-H 291	D16 (SD 30)
注 軽量コンクリート；粗骨材はアリナイト -S；繋合承、-H；フランジ中320mm の川字形支承 鉄筋：RC床版では、主鉄筋、配力筋比 同じ材料 格子床版は、配力筋だけ。		

表-1 供試体詳細

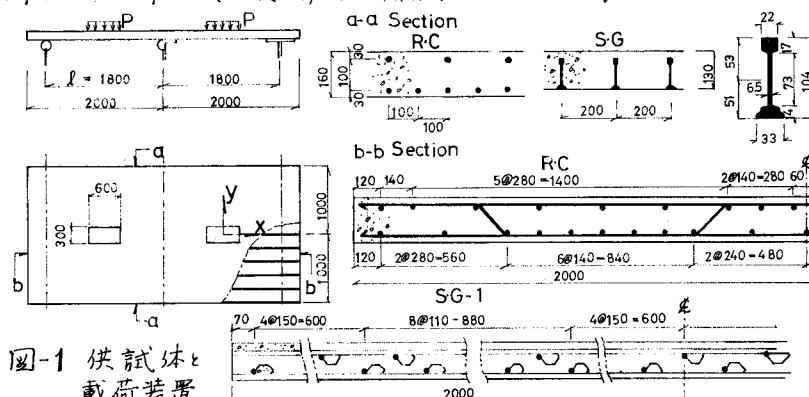


図-1 供試体と載荷装置

供試体	破壊荷重と型式
RC-1-S	P=45.0t A
RC-2-S	37.5 A
RC-3-S	52.5 A
RC-1-H	60.0 B
RC-2-H	62.5 A
RC-3-H	65.0 A,B
SG-1-S	60.0 B
SG-2-S	67.5 B
SG-1-H	75.0 B
SG-2-H	75.0 B

A:中央支承上の斜め引張  
破壊  
B:載荷板下りせん断破壊

表-2 破壊荷重と型式

(線支承) ~ 20% (H 柄支持) も増加し、断面性能が大きい主部材を組み入れたためである。図-2にクラック進展状況を示した。クラック発生荷重は、線支承の場合は、RC 床版のほうが小さめで、H 柄支持した場合は、ほぼ同じである。一般に RC 床版のクラック発生状況は、荷重分配が格子床版より優れるため、格子床版のように経間中央への進展は認められない。しかし、中间支承上のクラック中央図-3に示したごとく、格子床版の 2~3 倍を示し、この結果中间支承上の断面低下が大きく、図-5 に示したごとくタワミ等が格子床版より悪い結果となつた。

さて板の曲げ剛性は一般に、曲げ剛性係数  $\alpha$  より、ねじり剛性係数によつて決まる。曲げ剛性係数  $\theta = \frac{E}{C} / B_x B_y$  は小さいほど、ねじり剛性係数  $\alpha = \frac{G}{B_x B_y}$  は大きいほど荷重分配作用がよい。本実験における境界条件をもつ床版の解析は非常に困難であり、また一般に有効ねじり剛性 H の算出は不可能である。

我々は、近似的に直交異方性板理論による Guyon-Yassonnet の方法により検討したが実験値との一致を見たことより、次のことが言える。

RC 床版は、Huber の提唱したごとく、有効ねじり剛性 H は、 $H = \sqrt{B_x B_y}$  としてよい。すなまち  $\alpha = 1$  として仮定してよい。

格子床版に対しては、H は、コンクリート断面の内の曲げ剛性に等しく取つてよい。次に計算結果を示す。計算例では、有効コンクリート高さを、格子床版のは 13 cm (全断面有効)、10 cm、6.5 cm の 3 種、RC 床版

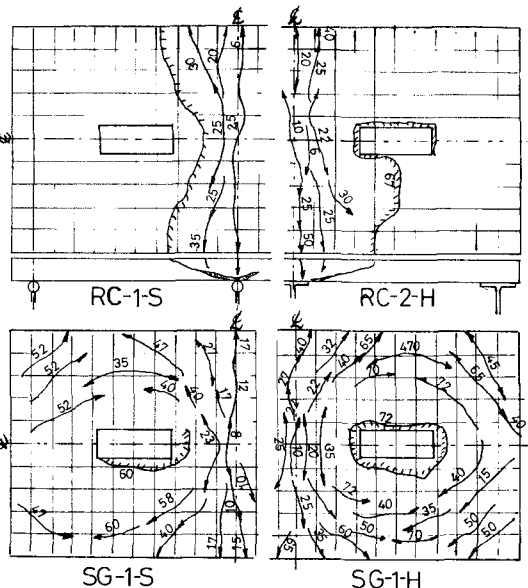


図2 破壊状況図

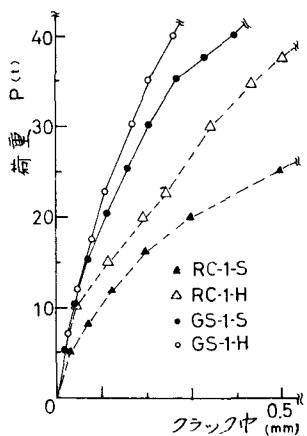


図3 最大クラック幅

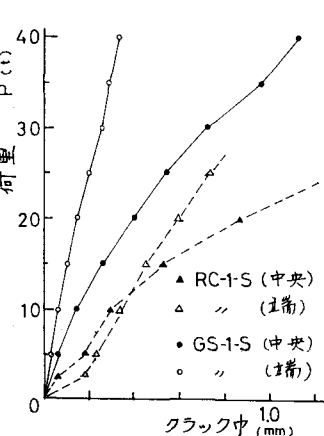


図4 60cm 間クラック統和中

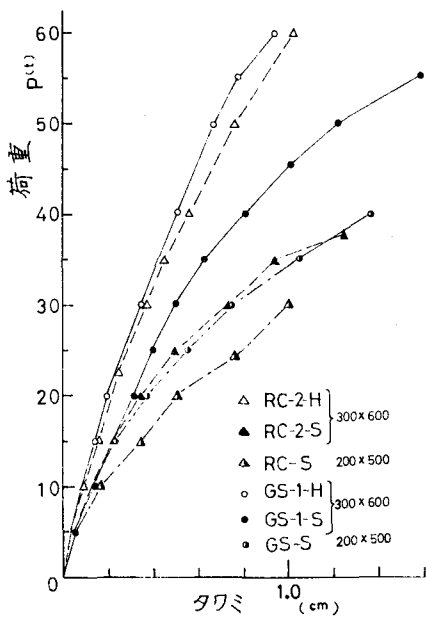


図5 最大タワミ変化図

では、 $16\text{cm}$ （全断面有効）、 $13\text{cm}$ 、 $8\text{cm}$ 、 $6\text{cm}$ の4種で、各々の値は、版全中にわたって一定と仮定した。

各々の断面における諸量は表-3に示したが、RC床版のほうが荷重分配がよいことがわかる。表-3の値より荷重分配係数を算出し、タリミ、歪の結果を図-6、図-7に示した。タリミ、歪とも計算値とのよい一致を見ている。版端において差があるのは、コンクリートの有効高を版全中にわたって一定としたためである。図-4に、中間支承上  $60\text{cm}$  の間のクラック中の絶縁変化図を示したが、RC床版では、版中央と版端との差があまりなく、一方の格子床版では、著しい差があり、この結果からも荷重分配作用の差異を説明できよう。

#### (b) 支持条件の差異による影響。

片持支持した場合、継支承の場合に比較して耐荷力については、格子床版では約20%，RC床版では40%の増加、最大タリミは全荷重を通じて、格子床版では65%，RC床版では50%，また最大クラック幅に関しては、格子床版が70%，RC床版では40～50%の減少を示し、フランジ中の影響は非常に大きい。このフランジ中の影響度は、床版の有効支間を考慮することによって表示される。図-6のタリミ、図-7の歪に示したことと実験値と計算値とのよい一致を見たことより、床版の有効支間を、主桁絶対高さ $h$ 、フランジ突出中の $1/2$ を差し引いた $\ell' = \{h - 1/2(h-b)\}$ とすることができる。この差は理論的には、タリミについて同荷重の荷重比は72%となり、実験結果とは大きさ異なるようであるが、片持支持することにより、クラックの進展が遅く、コンクリートの有効断面が大きいためである。

しかし、支間が短くなるほど、表-3に示したごとく曲げ剛性係数が増加し、荷重分配が悪くなる。このことは実験結果に明確に現われている。すなまちRC床版では、継支承の場合の破壊型式は、中間支承上の片持状態破壊であるが、片持支持することにより、載荷板下の punching shear によるセン断破壊を呈するようになる。また格子床版では、図-2に示したご

	コンクリート 有効高 (cm)	$B_x$ ( $\text{cm}^4$ ) $\times 10^3$	$B_y$ ( $\text{cm}^4$ ) $\times 10^3$	$\theta^*$ (線支承) (H行)	$\theta^*$ (H行)	$\alpha$	$\alpha^*$
G	13	4.75	3.31	0.786	0.815	0.750	0.496
S	10	3.44	1.81	0.802	0.874	0.542	0.359
I	6.5	3.06	1.17	0.869	0.948	0.197	0.130
R	16	9.05	8.45	0.695	0.757	1.000	0.622
C	13	5.56	4.86	0.706	0.771	1.000	0.622
I	8	2.94	2.03	0.742	0.810	1.000	0.622
	6	2.68	1.59	0.760	0.831	1.000	0.622

注 \*; 連続版に修正した値

表-3. 曲げ剛性係数・ねじり剛性係数

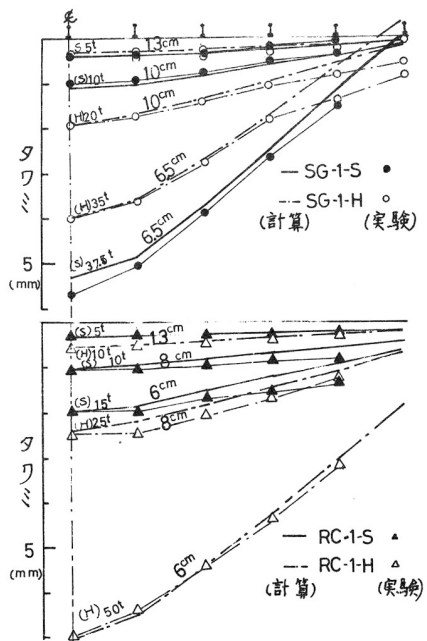


図-6 載荷横断面のタリミ

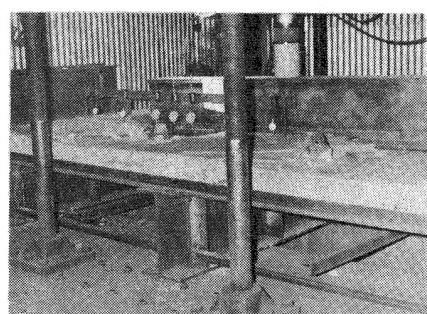


写真-1 RC-Z-H の破壊状況

とく、H桁支持した場合、径間中央へのクラック進展荷重は小さくなり、また径間中央の主部材に沿ったクラックは、綫支承した場合より内側へと移動した。

#### (c) 載荷板の大きさとの影響

今回の試験では、載荷板の大きさは  $300 \text{mm} \times 600 \text{mm}$  であるが、 $200 \text{mm} \times 500 \text{mm}$  で行った結果<sup>(1,2,3)</sup>と比較してみると、その影響は非常に大きい。耐荷力について格子床版では、綫支承、H桁支持の場合とも  $20\%$  の増加、RC床版では、 $15^\circ$ （綫支承）～ $30^\circ$ （H桁支持）も増加した。破壊型式も、 $200 \times 500$  の場合は、載荷板下の Punching shear によるセコン断破壊であり、単位面積当たりの荷重密度が大きくなるのである。

図-5 の最大タリミ変化曲よりも、格子床版では、 $P=15^\circ$  で  $7\sim20\%$ 、 $30^\circ$  では  $50\sim80\%$  と荷重の増大につれて、 $300 \times 600$  の方が小さくなる。先の Guyon-Massonet の方法で検討したが、理論的には歎びしが相異が表われない。これは  $200 \times 500$  の場合、載荷板と版端とのクラック進展状況が異なり、荷重分配作用が劣ったためだと思われる。

一般に床版の設計では、床版の中立軸までは荷重が分布するものと仮定しているが、舗装材料が悪い場合には非常に危険側となる。

以上、試験結果を要約したが、詳細は講演会当日発表する。

今回の実験を行うに当り、大阪大学工学部卒論生の吉村文連君に貢う所が多く、ここに謝意を表します。

#### 参考文献

##### 1) 軽荷重用格子床版の実験的研究（第1報）

前田、波田、松井、柴原、榎本 “第22回年次学術講演会概要”

##### 2) 軽荷重用格子床版の実験的研究（第2報）

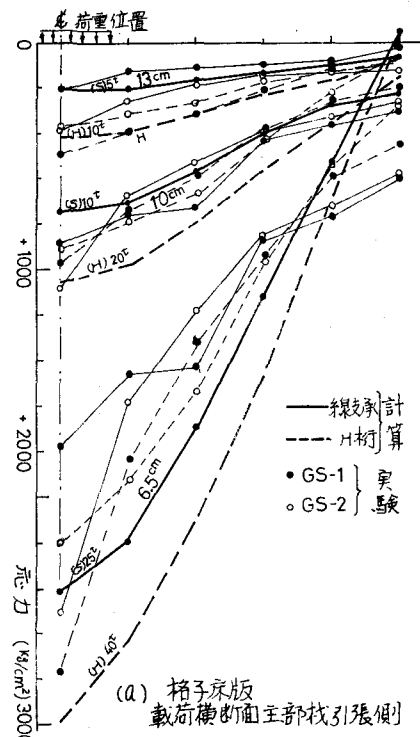
前田、波田、松井、柴原、榎本 “昭和42年度関西支部学術講演会概要”

##### 3) 軽荷重用格子床版の実験的研究（第3報）

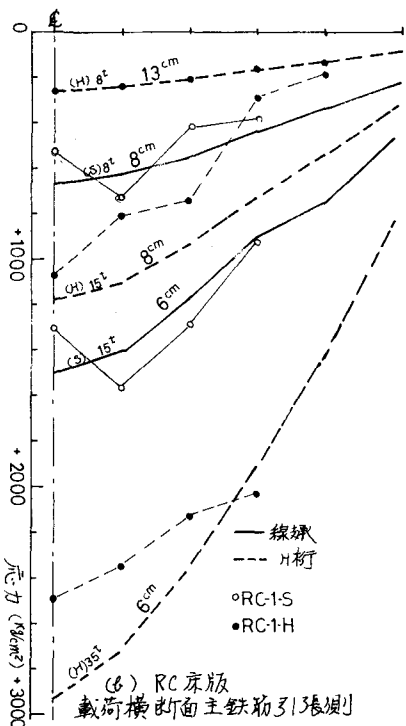
前田、波田、松井、柴原、榎本 “昭和43年度関西支部学術講演会概要”

##### 4) 格子桁の理論と計算

波田 畏



(a) 格子床版  
載荷横断面主部材引張側



(b) RC床版  
載荷横断面主鉄筋引張側